

波と流山の共存場に設置土山を鉛直単円柱に作用する揚力

京都大学工学部 岩垣雄一, 浅野敏之, 山田哲夫

1. はじめに 波と流山の共存場における円柱に作用する流体力の特性について、昨年度は直方向力の特性について考察し、その後流速パラメータの特性から説明できることを明らかにした。また揚力については、その変動周波数と波の周波数との関係について検討を行った。本年度は揚力変動の大きさをとりあげ、共存場における揚力係数 C_L の特性と土山を支配するパラメーターについて考察する。揚力の現象が取り扱かいにくいのは、一定の流速を持つ流れや、規則的な波動が作用した場合でも、揚力は一般にその大きさが変動し、不規則となることである。従来の研究では、確率論的な手法を導入するものが多いがある条件下では、確定的に取扱える場合もある。以上の点から、共存場における揚力のばらつきについても検討を加えることにした。

2. 実験方法 実験はすべて循環流発生装置のついた長さ27m、幅50cm、高さ70cmの造波水槽で行なった。用いた円柱は直径30mmと60mmの2種類、流山はすべて波の進行方向と逆の流山である。流体力測定実験は、円柱を片持ちばり型式で鉛直に支持し、土山に作用する流体力をひずみゲージによって検出した。

3. 結果 (a) 揚力変動波形

図-1は測定土山を揚力変動の例である。図中CASE 1~3は波動のみの場の結果であり、CASE 4~6は共存場の結果である。CASE 1は揚力変動周波数 f_L が波動の周波数 f_w と同じ場合であるが、揚力変動はきわめて安定で、その大きさもほぼ一定である。CASE 2,3は $f_L=2f_w$ の場合であって、周期的な変動をしているが、その極大値は大小交互に変化している。一方、共存場においては、CASE 4のように比較的安定な周期変動を示す場合もあるが、CASE 6ではかなり不規則な変動となっている。図-2は図-1で示した土山での実験ケースについて、極値揚力の頻度分布を調べたものである。

図1, 図2から次のことがわかる。波動場においては、K.C. 数がトネルと揚力変動が規則的で極値揚力の頻度分布は中央に集中するが、K.C. 数が大きくなると、波の半周期の間に発生する揚力の個数が増えると揚力変動がばらつき、従来から指摘

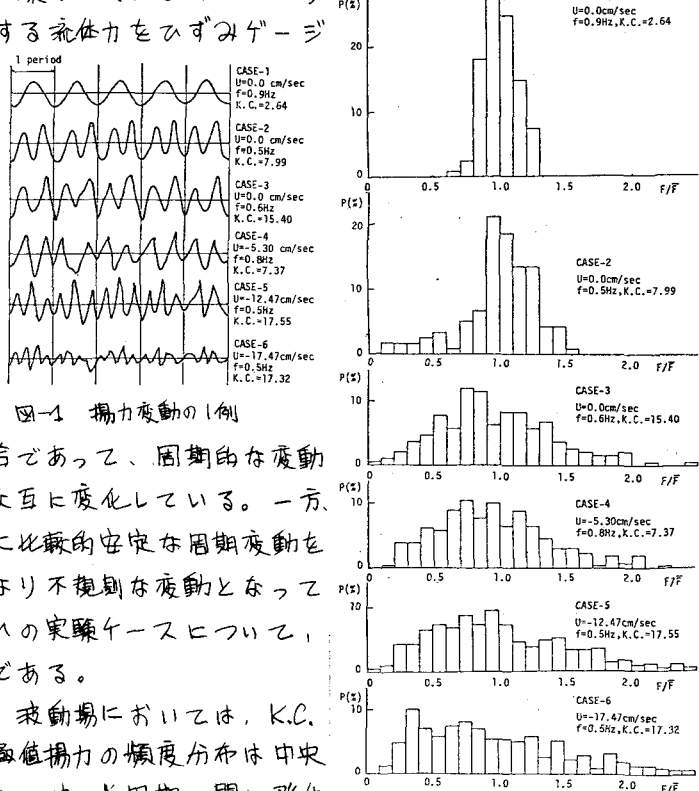


図-2 極値揚力の頻度分布

上に述べたように、確率論的取扱いをしなくてはならなくなる。共存場においても同じK.C.数で流速が大きくなると揚力変動のばらつきは顕著で、これは発生する渦の強度や位置のばらつき、あるいは流れの転流時に円柱のどちら側を通過するかに起因すると考えられる。以上よりK.C.数が大きくなったり流れが重なったりすると、渦が多発して相互に干渉し、より不確定性が著しくなる。

(b) 揚力係数 上で述べたように、揚力は一般に変動するから、揚力係数 C_L も確率的な性質を考慮して決定する必要がある。したがって、ここでは極値揚力の λ_{10} 最大値、 λ_{10} 最大値から得られる揚力係数 C_{L10} 、 C_{L10} について検討を行なうこととする。

図-3は波動のみの場合について、本研究で得られた C_{L10} の値と他の研究者の結果とを比較したものである。図からK.C.数が10~12付近で C_{L10} の極大値が存在することができる。これはこのK.C.数付近で、発生する後流域の非対称性が大きくなるためと考えられる。図-4は共存場における揚力係数 C_L の値を波動のK.C.数に対してプロットしたものであるが、流れの効果を考慮していないので、 \bar{C}_L についてのはっきりした傾向を見い出すことができない。次に共存場におけるK.C.数として、直方向力の時と同じ、次のパラメータを導入する。

$$|D| \leq U_m \text{ の時}, K.C. = 2\pi \int_{-\pi}^{\pi} |D + U_m \cos \theta|^2 d\theta / D \quad (1)$$

$$\text{ただし } \theta = \cos^{-1}(-U/U_m)/\pi$$

$$|D| > U_m \text{ の時}, K.C. = \pi U T / D \quad (2)$$

C_{L10} および C_{L10} の結果を $K.C.$ で整理したものが、図-5、図-6である。 C_{L10} 、 C_{L10} はともに $K.C. = 10 \sim 12$ 付近で極大値が現われるが、これは表と流れの方向が一致する位相区間で発生する渦が非対称となるためで、波動のみの場合に得られた図-3と同じ結果となる。二のほうに揚力係数についても前年度に考察した直方向力係数と同様に、共存場の渦パターンを表現する新たなK.C.数を用いながらよく整理できることがわかった。

この研究は文部省科学研究費特定研究（代表者 元良誠三氏）による研究の一部であることを記する。

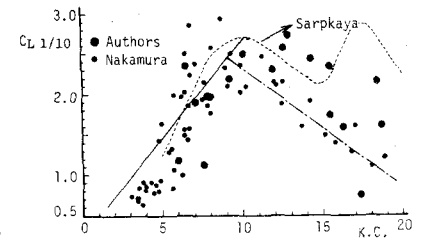


図-3 λ_{10} 最大揚力係数とK.C.数の関係(波動場)

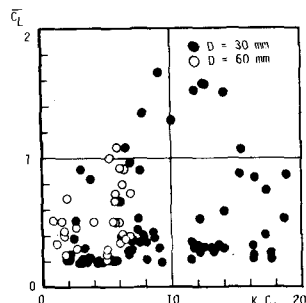


図-4 平均揚力係数とK.C.数の関係(共存場)

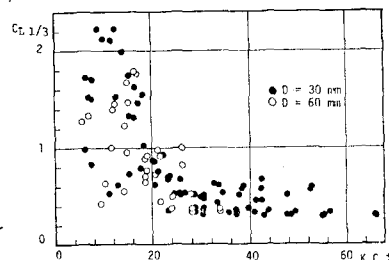


図-5 λ_{10} 最大揚力係数とK.C.数との関係(共存場)

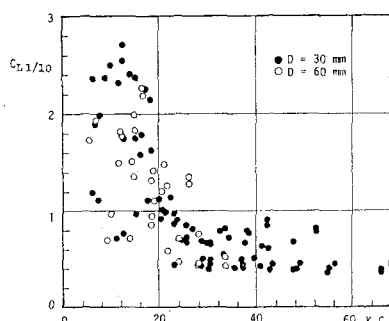


図-6 λ_{10} 最大揚力係数とK.C.数との関係(共存場)